

doi: 10.3969/j.issn.0490-6756.2018.06.021

# 金刚石晶格上 $S^4$ 模型的相变

尹训昌, 刘万芳, 祝祖送, 马业万, 闻 军, 章礼华

(安庆师范大学物理与电气工程学院, 安庆 246011)

**摘要:** 应用实空间重整化群的方法, 研究了金刚石晶格上  $S^4$  模型的相变, 求得了系统的临界点. 分析可知, 本系统只存在 Gauss 不动点而无 Wilson Fisher 不动点, 与金刚石晶格上的 Gauss 模型相比较, 系统具有相同的临界点, 表明它们属于同一个普适类.

**关键词:** 金刚石晶格;  $S^4$  模型; 重整化群

**中图分类号:** O414.13 **文献标识码:** A **文章编号:** 0490-6756(2018)06-1261-04

## Phase transition of the $S^4$ model on diamond lattice

YIN Xun-Chang, LIU Wan-Fang, ZHU Zu-Song, MA Ye-Wan, WEN Jun, ZHANG Li-Hua

(School of Physics and Electric Engineering, Anqing Normal University, Anqing 246011, China)

**Abstract:** According to the real space renormalization group method, the phase transition of  $S^4$  model on a diamond lattice is studied, and its critical points are obtained. The results show that there only exist a Gaussian fixed point and the Wilson-Fisher fixed point is not found. Compared to the Gauss model on a diamond lattice, they have the same critical points. The results indicate that the two systems belong to the same universality class.

**Keywords:** Diamond lattice;  $S^4$  mode; Renormalization-group

## 1 引言

相变在自然界中广泛存在, 像熟知的水的三态转变就属于相变范畴, 自旋模型的相变一直是凝聚态物理中的一个重要分支. 以自旋取值作为分类依据, 自旋模型可分为离散型和连续型两大类. 离散型只能取一些离散数值, 如 Ising 模型和 Potts 模型, 而  $S^4$  模型和 Gauss 模型则属于连续模型, 它们的自旋可以在整个实数空间连续取值. 最初相变的研究主要集中在具有平移对称晶格上, 此晶格具有平移对称性. 随着研究的深入, 人们对分形维数可以取非整数的分形晶格产生了浓厚的兴趣. 上世纪八十年代, Gefen 等开创性的讨论了几种简单分形上离散模型的相变, 得到了一些有意义的结

果<sup>[1-4]</sup>. 从此以后, 分形晶格上的相变问题成了一个研究热点, 人们持续关注这一热点并得到了一系列有趣的结论<sup>[5-17]</sup>. 1999年, Kong 等<sup>[7]</sup>讨论了金刚石晶格上 Gauss 模型的相变, 由递推关系求得了系统的临界点. 与只能取有限值的离散模型相比较,  $S^4$  模型和 Gauss 模型的自旋都可以连续取值. 与 Gauss 模型相对比,  $S^4$  模型具有极大的优越性, 即多了一个四次方项相互作用参数, 它在研究相变问题时起着决定性的作用,  $S^4$  模型更接近自然界中的真实系统. 因此, 讨论  $S^4$  模型的相变可以更好的理解自然界中的相变. 迄今为止, 金刚石晶格上  $S^4$  模型的相变还未见报道. 本文应用累积展开和实空间重整化群的方法, 我们研究了金刚石晶格上  $S^4$  模型的相变, 得到了系统的递推关系和临界点.

收稿日期: 2017-06-14

基金项目: 国家自然科学基金(11604002); 安徽省自然科学基金(1708085MA10, 1808085MA20); 安徽高校自然科学重点项目(KJ2018A0366, gxyq2017027)

作者简介: 尹训昌(1979—), 男, 汉族, 硕士, 副教授, 主要从事凝聚态物理研究. E-mail: yxc0212@163.com

## 2 金刚石晶格和 S<sup>4</sup>模型

金刚石晶格的构建过程如图 1 所示. 该晶格通过迭代过程产生, 基本单元(即  $n=0$  级)是由两个格点和一个键组成的晶格, 再用六个基本单元构造一个生成元(即  $n=1$  级), 然后生成元的每一个键再替换为生成元本身, 这样的步骤重复无穷多次, 最后就得到金刚石晶格. 该晶格是有代表性的非均匀分形, 即格点的配位数因格点的位置不同而不同. 它的分形维数为  $d_f = \ln 6 / \ln 3 = 1.631$ .

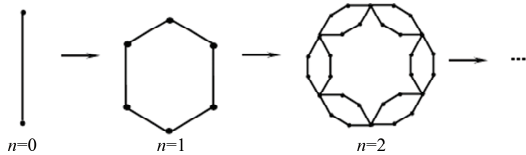


图 1 金刚石晶格的构造过程

Fig. 1 The constructional procedure of diamond lattice

金刚石晶格上 S<sup>4</sup>模型的有效哈密顿量

$$H = K \sum_{\langle ij \rangle} s_i s_j - \sum_i \frac{b_i}{2} s_i^2 - \sum_i u_i s_i^4 \quad (1)$$

其中,  $K$  为两个自旋  $s_i$  和  $s_j$  之间的约化相互作用参量, 格点  $s_i$  上的 Gauss 分布常数用  $b_i$  表示,  $u_i$  用来表示四次方项的相互作用参数. 为了求解该晶格上的相变, 假设 Gauss 分布常数和四次方项的相互作用参数与格点的配位数有关, 即满足

$$b_i/b_j = u_i/u_j = q_i/q_j \quad (2)$$

## 3 重整化群的变换过程

为了便于描述, 取生成元来展示重整化群过程. 图 2(I) 为金刚石晶格的生成元, 格点的位置分别用不同的字母和数字来表示, 每个格点的配位数与格点的位置密切相关. 分析可知,  $q_a = 2^n$ ,  $q_b = 4$ ,  $q_1 = q_{1'} = q_2 = q_{2'} = 2$ . 由(1)式, 此生成元的有效哈密顿量为

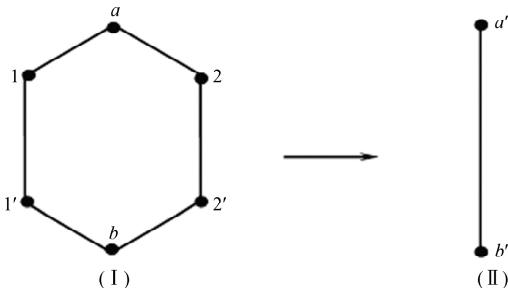


图 2 金刚石晶格的重整化群过程

Fig. 2 The renormalization group procedure of diamond lattice

$$H = H_0 + V \quad (3)$$

其中

$$H_0 = K \sum_{i=1}^2 (s_i s'_i + s_a s_i + s_b s'_i) - \frac{b_2}{2} \sum_{i=1}^2 (s_i^2 + s'^2_i) - \frac{b_2^n}{2} \frac{s_a^2}{2^{n-1}} - \frac{b_4}{2} \frac{s_b^2}{2} - u_2^n \frac{s_a^4}{2^{n-1}} - u_4 \frac{s_b^4}{2} \quad (4)$$

$$V = -u_2 \sum_{i=1}^2 (s_i^4 + s'^4_i) \quad (5)$$

为了区分, 用  $s'_a, s'_b$  来分别表示图 2(II) 中格点位置  $a'$  和  $b'$  上的自旋, 经过重整化群变换消去内部格点后图 2(I) 变为图 2(II), 此过程表示为

$$\int_{-\infty}^{\infty} ds_1 ds_2 ds'_1 ds'_2 \exp(H) = P \exp(H') \quad (6)$$

其中  $P$  表示与格点自旋无关的重整化常数,  $H'$  表示变换后的有效哈密顿量.

为了便于计算, 把有效哈密顿量分成  $H_0$  和  $V$  两部分, 把  $V$  作为  $H_0$  的微扰项进行计算. 由正则系统配分函数的定义得到

$$Z = \int_{-\infty}^{\infty} ds_a ds_b \int_{-\infty}^{\infty} ds_1 ds_2 ds'_1 ds'_2 e^{H_0+V} \quad (7)$$

定义部分迹

$$\langle PT \rangle = \int_{-\infty}^{\infty} ds_1 ds_2 ds'_1 ds'_2 e^{H_0+V} \quad (8)$$

上式改写为

$$\begin{aligned} \langle PT \rangle &= \int_{-\infty}^{\infty} ds_1 ds_2 ds'_1 ds'_2 e^{H_0} \frac{\int_{-\infty}^{\infty} ds_1 ds_2 ds'_1 ds'_2 e^{H_0+V}}{\int_{-\infty}^{\infty} ds_1 ds_2 ds'_1 ds'_2 e^{H_0}} \\ &= \int_{-\infty}^{\infty} ds_1 ds_2 ds'_1 ds'_2 e^{H_0} \langle e^V \rangle_0 \end{aligned} \quad (9)$$

其中

$$\langle \dots \rangle_0 = \frac{\int_{-\infty}^{\infty} ds_1 ds_2 ds'_1 ds'_2 (\dots) e^{H_0}}{\int_{-\infty}^{\infty} ds_1 ds_2 ds'_1 ds'_2 e^{H_0}} \quad (10)$$

称(10)式为累积平均.

由于  $V$  是个很小的微扰, 进行级数展开为

$$\langle e^V \rangle_0 = e^{\langle V \rangle_0 + \langle 1/2 \rangle \langle (V^2)_0 - \langle V \rangle_0^2 \rangle + \dots} \quad (11)$$

把(11)式代入(9)式得

$$\begin{aligned} \langle PT \rangle &= \int_{-\infty}^{\infty} ds_1 ds_2 ds'_1 ds'_2 e^{H_0} e^{\langle V \rangle_0 + \langle 1/2 \rangle \langle (V^2)_0 - \langle V \rangle_0^2 \rangle + \dots} \end{aligned} \quad (12)$$

约去内部自旋  $s_1, s_2, s'_1$  和  $s'_2$  后, 系统的有效哈密顿量改写为

$$H' = \ln \langle PT \rangle = H'_0 + \langle V \rangle_0 + \frac{1}{2} (\langle V^2 \rangle_0 - \langle V \rangle_0^2) \quad (13)$$

由(12)式可得

$$H'_0 = \ln\left(\int_{-\infty}^{\infty} ds_1 ds_2 ds'_1 ds'_2 e^{H_0}\right) = k_{11} s_a s_b + k_{12} (s_a^2 + s_b^2) + k_{13} (s_a^4 + s_b^4) \quad (14)$$

其中

$$k_{11} = \frac{2K^3}{b_2^2 - K^2}$$

$$k_{12} = \frac{2b_2(b_2^2 - 3K^2)}{4(K^2 - b_2^2)}$$

$$k_{13} = -u_2$$

由(5)和(10)式,可知

$$\langle V \rangle_0 = \frac{\int_{-\infty}^{\infty} ds_1 ds_2 ds'_1 ds'_2 (\dots) e^{H_0}}{\int_{-\infty}^{\infty} ds_1 ds_2 ds'_1 ds'_2 e^{H_0}} = k_{21} s_a s_b + k_{22} (s_a^2 + s_b^2) + k_{23} (s_a^4 + s_b^4) \quad (15)$$

其中

$$k_{21} = -\frac{48b_2 K^3 (b_2^2 - b_2 K) u_2}{(b_2 - K)^4 (b_2 + K)^3}$$

$$k_{22} = -\frac{12K^2 (b_2^2 - b_2 K) (b_2^2 + K^2) u_2}{(b_2 - K)^4 (b_2 + K)^3}$$

$$k_{23} = -\frac{2K^4 (b_2^4 + K^4) u_2}{(b_2^2 - K^2)^4}$$

通过(5)、(10)和(15)式,得到

$$\frac{1}{2} (\langle V^2 \rangle - \langle V \rangle_0^2) = k_{31} s_a s_b + k_{32} (s_a^2 + s_b^2) + k_{33} (s_a^4 + s_b^4) \quad (16)$$

上式中

$$k_{31} = 96K^3 (19b_2^6 - 38b_2^5 K + 30b_2^4 K^2 - 22b_2^3 K^3 + 13b_2^2 K^4 - 4b_2 K^5 + 2K^6) u_2^2 / [(b_2 - K)^7 (b_2 + K)^5]$$

$$k_{32} = 48K^2 (8b_2^7 - 16b_2^6 K + 25b_2^5 K^2 - 34b_2^4 K^3 + 24b_2^3 K^4 - 14b_2^2 K^5 + 7b_2 K^6) u_2^2 / [(b_2 - K)^7 (b_2 + K)^5]$$

$$k_{33} = 24b_2 K^4 (7b_2^6 - 7b_2^5 K + 4b_2^4 K^2 - 4b_2^3 K^3 + 17b_2^2 K^4 - 17b_2 K^5) u_2^2 / [(b_2 - K)^7 (b_2 + K)^5]$$

根据式(13~16),得到经过重整化群变换后系统的有效哈密顿量

$$H' = (k_{11} + k_{21} + k_{31}) s_a s_b + (k_{12} + k_{22} + k_{32}) (s_a^2 + s_b^2) + (k_{13} + k_{23} + k_{33}) \times (s_a^4 + s_b^4) \quad (17)$$

为了保证重整化群变换前后的哈密顿量表达式一致,对自旋进行重新标度,令  $s'_i = \xi s_i$  ( $i = a, b$ ), 自旋重标后系统的哈密顿量改写为

$$H' = K' s'_a s'_b - \frac{b_2^{n-1}}{2} \frac{s_a^2}{2^{n-1}} - \frac{b_2}{2} \frac{s_b^2}{2}$$

$$u'_{2^{n-1}} \frac{s_a^4}{2^{n-1}} - u'_2 \frac{s_b^4}{2} \quad (18)$$

上式中

$$\xi = \sqrt{-\frac{4}{b_2} (k_{12} + k_{22} + k_{32})} \quad (19)$$

$$K' = (k_{11} + k_{21} + k_{31}) / \xi^2 \quad (20)$$

$$u' = -2(k_{13} + k_{23} + k_{33}) / \xi^4 \quad (21)$$

(20)和(21)式称为重整化群的递推关系。

## 4 结论

由递推关系,求得系统的临界点为( $K^* = b_2/2, u_2^* = 0$ )。根据重整化群变换理论,得到关联长度的临界指数  $\nu = 0.5$ 。以前的工作表明,S<sup>4</sup>模型一般存在两个不动点,一个为 Gauss 不动点外,另外一个为 Wilson-Fisher 不动点,且 Wilson-Fisher 不动点对系统的临界特性有决定性的作用。但是,本文所研究的金刚石晶格上的 S<sup>4</sup>模型出现了一个有趣的结果,即只存在一个 Gauss 不动点,而并没有 Wilson-Fisher 不动点。究其原因是该晶格的分形维数  $d_f = 1.631(2)$ ,进一步验证了只要分形维数小于 2 系统只有 Gauss 不动点而无 Wilson-Fisher 不动点的结论。结果表明,金刚石晶格上的 S<sup>4</sup>模型和该晶格上的 Gauss 模型的具有相同的临界点,表明它们属于一个普适类。分析可知,金刚石晶格上的 S<sup>4</sup>模型和 Ising 模型具有不同的临界点,属于不同的普适类,但如果我们取合适的参数即  $b = -4u$  时,S<sup>4</sup>模型和 Ising 模型又属于同一个普适类。

## 参考文献:

- [1] Gefen Y, Mandelbrot B, Aharony A. Critical phenomena on fractal lattices [J]. Phys Rev Lett, 1980, 45: 855.
- [2] Gefen Y, Aharony A, Mandelbrot B. Phase transitions on fractals (I) [J]. J Phys A, 1983, 16: 1267.
- [3] Gefen Y, Aharony A, Mandelbrot B. Phase transitions on fractals (II) [J]. J Phys A, 1984, 17: 435.
- [4] Gefen Y, Aharony A, Mandelbrot B. Phase transitions on fractals (III) [J]. J Phys A, 1984, 17: 1277.
- [5] Yang Z R. Family of diamond-type hierarchical lattices [J]. Phys Rev B, 1988, 38: 728.
- [6] Li S, Yang Z R. Real-space renormalization-group study of the phase transition in a Gaussian model of fractals [J]. Phys Rev E, 1997, 55: 6656.

- [7] Kong X M, Li S. Critical behavior of the Gaussian model on diamond-type hierarchial lattices [J]. *Sci Chin A*, 1999, 42: 325.
- [8] Zhu J Y, Zhu H. Critical slowing down of the Gaussian spin system on diamond-type hierarchical lattices [J]. *Chin Phys*, 2003, 12: 264.
- [9] Li Y, Kong X M. Critical properties of the  $S^4$  model on diamond-type hierarchial lattices [J]. *Physica A*, 2005, 356: 589.
- [10] Sun C F, Kong X M, Yin X C. A solvable decorated Ising lattice model [J]. *Commun Theor Phys*, 2006, 45: 555.
- [11] 邹维科,孔祥木,王春阳,等. 三维钻石型等级晶格上量子 Heisenberg 系统的临界性质[J]. *物理学报*, 2010, 59: 4874.
- [12] 孙春峰. 镶嵌正方晶格上 Gauss 模型的相图[J]. *物理学报*, 2012, 61: 086802.
- [13] Chen X, Zhang J S. Biometric feature extraction using local fractal auto-correlation [J]. *Chin Phys B*, 2014, 23: 096401.
- [14] 尹训昌,刘万芳,祝祖送,等. Sierpinski 地毯上  $S^4$  模型的临界特性[J]. *物理学报*, 2015, 64: 016402.
- [15] 曾全荣. 等级晶格上 Ashkin-Teller 模型的相变[J]. *江西科学*, 2016, 34: 514.
- [16] 陈克萍,吕鹏,王海鹏. 微重力条件下 Cu-Zr 共晶合金的液固相变研究 [J]. *物理学报*, 2017, 66: 068101.
- [17] 李季凡,王忠龙,尹重阳,等. Fe 掺杂  $VO_2$  的相变和磁性研究[J]. *低温物理学报*, 2017, 39: 6.

**引用本文格式:**

中文: 尹训昌, 刘万芳, 祝祖送, 等. 金刚石晶格上  $S^4$  模型的相变[J]. *四川大学学报: 自然科学版*, 2018, 55: 1261.

英文: Yin X C, Liu W F, Zhu Z S, *et al.* Phase transition of the  $S^4$  model on diamond lattice [J]. *J Sichuan Univ: Nat Sci Ed*, 2018, 55: 1261.